

ОБЪЕДИНЕННЫЙ ИНСТИТУТ ЯДЕРНЫХ ИССЛЕДОВАНИЙ

УДК 539.12

Ш 612

6-89-381

ШИМЕЧЕК Павел

ИЗУЧЕНИЕ СВЕРХТОНКИХ МАГНИТНЫХ ПОЛЕЙ
НА ЯДРАХ РЕДКОЗЕМЕЛЬНЫХ ЭЛЕМЕНТОВ
В ФЕРРОМАГНИТНЫХ МАТРИЦАХ
И СТРУКТУРЫ ЯДЕР ^{149}Pm И ^{149}Sm

Специальность: 01.04.16 - физика атомного ядра
и элементарных частиц

Автореферат диссертации на соискание ученой степени
кандидата физико-математических наук

Дубна 1989

ОБЩАЯ ХАРАКТЕРИСТИКА РАБОТЫ

Актуальность темы диссертации. Одной из актуальных проблем структуры атомного ядра является изучение областей ядер переходного характера, в которых возможны резкие изменения формы ядер. С точки зрения теоретического понимания свойств переходных ядер оказывается, что большинство из них трудно описать в рамках представлений, развитых в настоящее время как для сильнодеформированных, так и для сферических ядер. Эти представления можно рассматривать лишь как асимптотические пределы для описания большинства реальных нуклидов. В этой связи представляется очень важным систематическое детальное изучение свойств ядер переходного характера в широком диапазоне атомных и массовых чисел, при изучении которых можно проверить границы применимости имеющихся в настоящее время модельных представлений и выявить новые эффекты и закономерности.

Знание характеристик ядерных уровней является важным не только для понимания структуры ядра, но и для описания атомных и твердотельных явлений, чувствительных к сверхтонким взаимодействиям. Исследования сверхтонких взаимодействий в твердом теле дают возможность обогатить и расширить наши знания в обеих областях: в ядерной физике и в физике твердого тела.

Чтобы получить более полную экспериментальную информацию о характеристиках ядер, применяются разные методические подходы. Используя данную методику, можно обычно изучать одну специфическую область ядерных возбуждений и получить лишь некоторую физическую информацию. Только результаты многих, методически разных измерений позволяют строить достаточно полную картину исследуемого физического объекта. Важной предпосылкой успеха в решении встречающихся задач является возможность эффективного использования современной техники и оригинальных установок, разработанных в разных научных центрах. Эти требования осуществляются в рамках широкого международного научно-технического сотрудничества на базе ОИЯИ и в рамках сотрудничества с другими научными центрами мира.

Цель работы:

1. Создание установки для измерения возмущенных γ - γ угловых корреляций (ВУК) в диапазоне температур от 1,5 К до комнатной температуры. Разработка методики измерения, обработки и анализа данных.
2. Изучение сверхтонких магнитных полей (СМП) на ядрах редкоземельных элементов в ферромагнитных матрицах Fe, Co и Ni.

Работа выполнена в Лаборатории ядерных проблем
Объединенного института ядерных исследований.

Научный руководитель:
доктор физико-математических наук
профессор

М. Фингер

Официальные оппоненты:
доктор физико-математических наук
кандидат физико-математических наук

Ю. П. Гангрский
Г. М. Гуревич

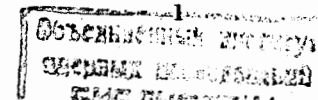
Ведущее научно-исследовательское учреждение:
Научно-исследовательский институт ядерной физики МГУ, Москва

Защита диссертации состоится " " 1989 г.
в час. на заседании Специализированного совета
Д-047.01.03 при Лаборатории ядерных проблем ОИЯИ, Дубна
Московской области.

Автореферат разослан "6" 06 1989 г.
С диссертацией можно ознакомиться в библиотеке ОИЯИ.

Ученый секретарь Специализированного совета
доктор физико-математических наук

Ю. А. Батусов



3. Изучение структуры низколежащих состояний ядра ^{149}Pm методом ядерной ориентации ^{149}Nd при сверхнизких температурах.

4. Исследование структуры низколежащих состояний ядра ^{149}Sm в реакции $^{146}\text{Nd}(\alpha, \gamma\gamma)$ на пучке циклотрона МС-20 Университета в Ювяскюля в Финляндии.

Научная новизна:

- создана экспериментальная установка, позволяющая проводить измерения γ - γ угловых корреляций, возмущенных статическим магнитным полем, в диапазоне температуры образцов от 1,5 К до комнатной температуры,

- измерены сверхтонкие магнитные поля на ядрах Sm в железной и никелевой матрицах при температуре образцов в диапазоне от 4,2 К до комнатной температуры. Для исследуемых образцов определены параметры электрических кристаллических и магнитных обменных полей,

- впервые применена методика ядерной ориентации при сверхнизких температурах для изучения свойств низколежащих уровней ядра ^{149}Pm . Однозначно определены спины уровней 288 и 425 кэВ как $9/2$ и $7/2$ и независимым способом подтверждены спины некоторых других уровней ^{149}Pm . Получена новая экспериментальная информация о мультипольности γ -лучей, возбуждаемых при распаде материнского ядра $^{149}\text{Nd}(T_{1/2}=1,7$ ч),

- для изучения структуры низколежащих уровней ^{149}Sm впервые использована реакция $^{140}\text{Nd}(\alpha, \gamma\gamma)$ в диапазоне энергий $E_\alpha=16,0-20,4$ МэВ. Обсуждаются квантовые характеристики многих, в том числе ранее ненаблюдавшихся, уровней и мультипольности γ -переходов ^{149}Sm . В результате предлагается уточненная схема уровней ^{149}Sm и новая экспериментальная информация о мультипольности и приведенных вероятностях переходов.

Практическая ценность диссертации. Созданная экспериментальная установка позволяет измерять сверхтонкие магнитные поля, а также магнитные дипольные и электрические квадрупольные моменты ядер. Измерения при низких температурах повышают точность определения этих величин. Кроме того, измерения при гелиевой температуре позволяют определить величины магнитных обменных полей и параметры электрических кристаллических полей.

Новые результаты экспериментальных исследований свойств низколежащих уровней ядер ^{149}Pm и ^{149}Sm могут быть использованы для более подробного теоретического обсуждения структуры уровней ядер переходной области с $A \approx 150$ и для проверки современных моделей атомного ядра.

Автор защищает:

- созданную установку для измерения ВУК в диапазоне температур 1,5-300 К и разработанную методику измерения, обработки и анализа данных;

- результаты исследований температурной зависимости сверхтонких магнитных полей на ядрах ^{152}Sm в ферромагнитных матрицах Fe и Ni;

- результаты экспериментальных и теоретических исследований структуры низколежащих состояний ядер ^{149}Pm и ^{149}Sm .

Апробация работы. Основные результаты работы докладывались и обсуждались на VII Конференции по сверхтонким взаимодействиям (Бангалоре (1986 г.)), на VIII Конференции чехословацких физиков (Братислава (1985 г.)), на Международной конференции по физике ориентированных ядер (Прага (1988 г.)), на семинарах по физике атомного ядра ЛЯП ОИЯИ и на семинаре Отдела физики Университета в Ювяскюля.

Публикации. В диссертации обобщены результаты работ, выполненных автором в 1983-1989 гг. Основные результаты, изложенные в диссертации, опубликованы в работах /1-6/.

Структура и объем диссертации. Диссертация состоит из введения, двух частей и заключения, в котором приводятся основные выводы. Работа изложена на 121 странице, содержит 16 рисунков и 16 таблиц.

СОДЕРЖАНИЕ РАБОТЫ

Во введении обосновывается актуальность работы, сформулированы ее цели и определены основные положения, вынесенные на защиту.

Первая часть работы состоит из трех глав. В первой главе рассматриваются вопросы, связанные с γ - γ угловыми корреляциями, возмущенными статическим магнитным полем. Во второй главе описываются методические вопросы измерения, обработка и анализа данных. Описывается установка для измерения ВУК, позволяющая проводить измерения изучаемых образцов в диапазоне температур от 1,5 К до комнатной температуры. В третьей главе приводятся и обсуждаются результаты наших измерений температурной зависимости сверхтонких магнитных полей на ядрах ^{152}Sm в железной и никелевой матрицах.

В сотрудничестве с Карловым университетом в Праге и Пражским политехническим институтом была создана установка, позволяющая проводить измерения ВУК в диапазоне температур от 1,5 К до комнатной

температуры. Преимуществом ее по сравнению с существующими в ОИЯИ установками является возможность исследования сверхтонких взаимодействий в гелиевой области температур. Это позволяет определить величины обменного магнитного поля и параметры кристаллического поля в исследуемых матрицах, что весьма важно для физики твердого тела. Кроме того, измерения в гелиевой области температур повышают точность определения магнитных дипольных и электрических квадрупольных моментов возбужденных состояний атомных ядер, так как при низких температурах внутренние сверхтонкие поля известны обычно с лучшей точностью.

Созданная установка включает в себя криогенную и спектрометрическую аппаратуру.

Криогенная часть установки показана на рис. 1а и 1б. Она состоит

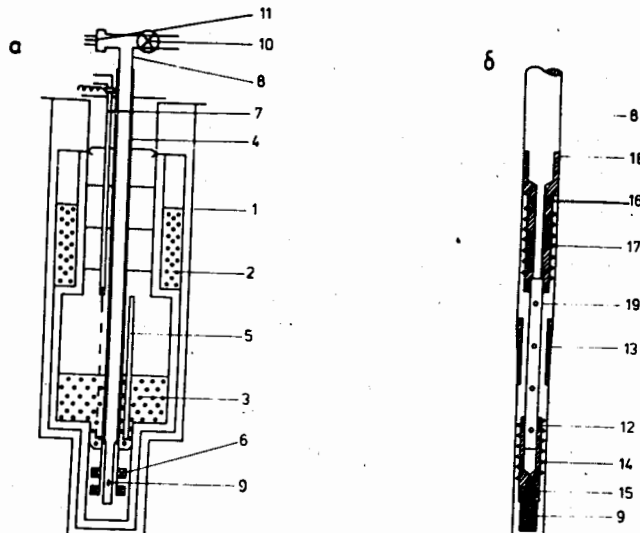


Рис.1. Криостат с регулируемой температурой образцов для измерения возмущенных угловых γ - γ корреляций:
а) криостат; б) держатель образца: 1-корпус криостата, 2-азотный сосуд, 3-гелиевый сосуд, 4-вставка, 5-уровнемер, 6-магнит, 7-тоководы магнита, 8-держатель образца, 9-образец, 10-вентиль, 11-электрические контакты, 12-медный цилиндр, 13-конус, 14-нагреватель, 15-термопары, 16-опорные точки термопар, 17-термический контакт проводов, 18-медное кольцо, 19- трубка из нержавеющей стали.

из гелиевого криостата, вставки со сверхпроводящим магнитом и держателя образца.

Криостат имеет азотный и гелиевый сосуды емкостью соответственно 15 и 17 литров и сохраняет работоспособность без дополнения жидкостей в течение 36 часов.

Вставка имеет тепловые экраны, термометры, нагреватель образца и непрерывный уровнемер для контроля уровня жидкости в гелиевом сосуде. В нижней части вставки закреплены катушки Гельмгольца, создающие магнитное поле на образцах величиной до 2 Тл.

К держателю образца прикреплены проволочный нагреватель и термопара для измерения температуры образца. Температура образца устанавливается с точностью $\pm 1,5$ К в диапазоне температур 4 - 300 К.

Для регистрации γ -излучения в наших измерениях использовались три Ge(Li)-детектора, размещенные вне криостата на специальной подвижной платформе. Один из детекторов закреплен неподвижно. Два других детектора можно поворачивать в горизонтальной плоскости относительно закрепленного детектора. Конструкция катушки магнита позволяет проводить измерения в положениях подвижных детекторов под углами 90° - 180° и 230° - 270° относительно неподвижного. Применение трех детекторов увеличивает эффективность получения полезной информации.

Блок-схема установки для измерения интегральных ВУК показана на рис. 2. Она построена по принципу быстро - медленных совпадений с применением конвертора время - амплитуда. В трактах использованы стандартные спектрометрические и временные блоки производства фирм

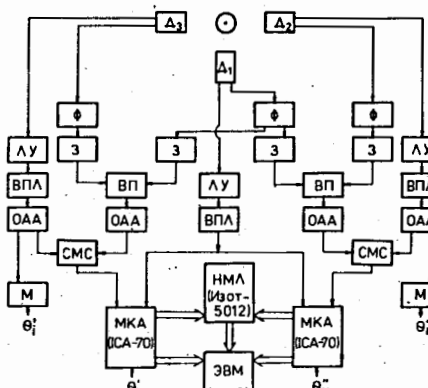


Рис.2. Блок-схема спектрометрической аппаратуры: D-Ge(Li)- детектор, Ф-формирователь с постоянной временной привязкой, З-задержки, ВП-время-амплитудный преобразователь, ОАА-одноканальный анализатор амплитуды, ЛУ-линейный усилитель, ВПЛ-восстановитель постоянной линии, М-монитор, СМС-схема медленных совпадений, МКА-многоканальный анализатор амплитуды, НМЛ-накопитель на магнитной ленте, ЭВМ-электронно-вычислительная машина.

"CAMBERRA", "TESLA" и "POLON". Временное разрешение аппаратуры составляло $2t \approx 20$ нс.

Для накопления спектров совпадений используются 4096-канальные амплитудные анализаторы ICA-70. Для контроля измерений и последующей коррекции результатов в связи с возможным отклонением фактического времени экспозиции от заданного в мониторах М накапливаются данные о числе импульсов в выбранных энергетических диапазонах. Кроме того, мониторы позволяют сохранять накопленную информацию при непредвиденной остановке измерений. Информация из анализатора ICA-70 передается через интерфейс в накопитель на магнитной ленте ИЗОТ-5012 или в память ЭВМ СМ-3А для обработки спектров совпадений.

Контрольные измерения ИВУК при температуре 4,2 К проводились с образцом $^{152}\text{EuFe}$. Было определено значение сверхтонкого магнитного поля на ядрах Gd в железной матрице при температуре 4,2 К: $B_{hf} = -36(15)$ Тл. Это значение B_{hf} находится в хорошем согласии с величиной $B_{hf} = -37,0(8)$ Тл, измеренной при температуре 12 К другими авторами.

С целью определения величины обменных магнитных полей и параметров электрических кристаллических полей мы проводили измерения температурной зависимости сверхтонких магнитных полей на примесных ядрах ^{152}Sm в ферромагнитных матрицах Fe и Ni. Радиоактивные ионы ^{152}Eu были имплантированы при комнатной температуре на масс-сепараторе с энергией 75 кэВ. Методом ИВУК измерялись угловые распределения γ -лучей каскада 868-244 кэВ ^{152}Sm в диапазоне температур образца 4,2-300 К. Измерения при температуре 4,2 К проводились методом полной возмущенной интегральной УК, при высших температурах — методом R-функций для двух противоположных направлений внешнего магнитного поля.

Поле от оболочки 4f мы рассчитали как разницу между экспериментальной величиной и составляющими СМП, связанными с поляризацией остова и электронов проводимости. Приводятся также результаты нашего анализа составляющих СМП на ядрах других редкоземельных элементов в ферромагнитных матрицах Fe, Co и Ni.

При подгонке наших экспериментальных результатов свободными параметрами являлись величина обменного магнитного поля $B_{exch}(0)$ и параметр кристаллического поля B_4 . Эти параметры описывают взаимодействие магнитного иона в кристаллической решетке и входят в аргумент функции Бриллюэна. На рис. 3 показана полученная температурная зависимость составляющей $B^{4f}(T)$ для ядер ^{152}Sm в матрицах Fe и Ni. Результаты подгонки приведены в таблице 1.

Используя определенные выше величины B_4 , можно рассчитать заряд q

Таблица 1. Результаты подгонки температурной зависимости составляющей сверхтонкого поля $B^{4f}(T)$ на ядрах Sm

Матрица	B_{exch} (Тл)	B_4 (К)	χ^2	q (е)
Fe	-212(15)	0,90(15)	0,45	+3,05(20)
Ni	-45(6)	0,95(20)	0,30	+1,54(20)

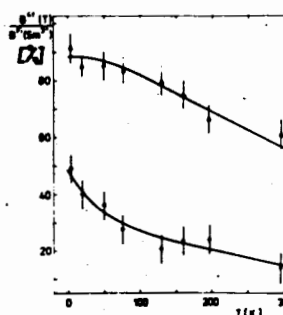


Рис. 3. Температурная зависимость составляющей $B^{4f}(T)$ для ядер ^{152}Sm в матрицах Fe и Ni: (▲) SmFe, (●) SmNi.

иона самария в точке замещения в матрицах Fe и Ni. Полученные результаты, рассчитанные в рамках простой модели точечных зарядов, приведены в последнем столбце таблицы 1. Из нее видно, что в случае никелевой матрицы заряд q отличается от ожидаемого значения +3e. Это может быть связано с влиянием электронов проводимости в металлических системах, специфическое распределение которых в модели точечных зарядов не учитывается. С другой стороны, наши результаты могут свидетельствовать о смешанной валентности самария. Смешанная валентность редкоземельных ионов в химических соединениях представляет большой интерес и изучается различными методами.

Во второй части диссертации приводятся и обсуждаются результаты экспериментальных и теоретических исследований структуры низколежащих состояний ядер ^{149}Pm и ^{149}Sm .

В первой главе описывается предпринятая попытка устранить имеющиеся неоднозначности в определении спинов ^{149}Pm и расширить данные по коэффициентам смешивания мультипольностей γ -лучей. Для этих целей нами впервые применена методика ядерной ориентации ^{149}Nd при низких температурах. Измерения проводились на установке СПИН в ОИЯИ.

Радиоизотоп ^{149}Nd с периодом полураспада $T_{1/2} = 1,73(1)$ ч получался путем облучения оксида Nd_2O_3 , обогащенной до 93,2 % изотопом ^{148}Nd , тепловыми нейтронами на реакторе ИБР-2 ОИЯИ. Образцы $^{149}\text{Nd}_{\text{Gd}}$ приготавливались путем плавки и охлаждались до температуры ≈ 16 мК.

Регистрация γ -лучей проводилась с помощью двух коаксиальных

$\text{Ge}(\text{Li})$ -детекторов, расположенных под углами 0° и 90° относительно направления внешнего магнитного поля, составляющего 1,2 Тл. Измерения были выполнены для двух образцов ^{149}Nd .

Полученные для 27 γ -переходов в ^{149}Pm нормированные интенсивности $w(0^\circ)$ и $w(90^\circ)$ позволили определить экспериментальные значения $A_{2^+}B_2$ и $A_{4^+}B_4$, входящие в выражение, описывающее угловое распределение γ -излучения ориентированных ядер. Коэффициент ориентации B_2 для основного состояния ^{149}Nd определялся на основе анизотропии интенсивного E1-перехода 654 кэВ. Для двух образцов, использованных в настоящей работе, получены соответствующие значения B_2 , равные 0,508(44) и 0,700(50).

Для уровня 240 кэВ, $11/2^-$ ^{149}Pm возможно внешнее возмущение первоначальной ориентации из-за длительного времени жизни $T_{1/2} = 35$ мс этого уровня. Наши данные не исключают такое возмущение, так как величина фактора ослабления ориентации G_2 была получена в пределах $0,2 \leq G_2 \leq 1$.

На основе экспериментальных значений $A_{2^+}B_2$ и B_2 и рассчитанных коэффициентов U_2 были определены коэффициенты A_2 для 22 γ -переходов в ^{149}Pm . Измеренные нами результаты для интенсивных E1-переходов 654,9, 270,2, 423,5, 540,5, 326,5 и 155,9 кэВ позволили независимо и однозначно подтвердить спины уровней 270,2, 537,8, 211,3 и 114,3 кэВ с квантовыми характеристиками соответственно $7/2^-$, $5/2^-$, $5/2^+$ и $5/2^+$. Квантовые характеристики некоторых других состояний были определены на основе экспериментальной анизотропии γ -переходов, заселяющих или разряжающих эти состояния. Таким образом, мы впервые определили спины уровней 288,2 и 425,3 кэВ как $9/2$ и $7/2$, а также подтвердили спины уровней 188,6, 387,6, 360,1, и 462,2 кэВ соответственно как $3/2$, $1/2$, $7/2$ и $3/2$.

Из экспериментальных значений коэффициентов A_2 были определены параметры смешивания мультипольностей γ -переходов ^{149}Pm , большинство из которых получено нами впервые. Приводится сравнение наших данных с результатами других авторов.

Полученные нами новые данные о спинах уровней и параметрах смешивания мультипольностей δ для многих γ -переходов в ^{149}Pm позволили провести более подробное обсуждение структуры уровней ядра ^{149}Pm .

Интерпретация экспериментальных данных проведена в рамках двух моделей: неадиабатической вращательной модели (НВМ) и вибрационной модели с промежуточной связью нечетной частицы с остовом (ВМ).

Расчеты по НВМ проводились в предположении движения квазичастиц в аксиально-симметричном слабодеформированном потенциале Саксона-Вудса с параметрами равновесной деформации $\beta_{20} = 0,09$, $\beta_{40} = -0,02$.

Энергии и амплитуды Кориолисова смешивания мы рассчитали путем прямой диагонализации матрицы взаимодействия Кориолиса в ограниченном базисе состояний одной четности. В расчете учитывались квазичастические состояния из оболочек $g_{7/2}$, $d_{3/2}$, $d_{5/2}$ и $h_{11/2}$. Отметим, что в ядрах с $Z \approx 60$ протонная оболочка $d_{3/2}$ находится на 1000 - 1500 кэВ выше оболочки $d_{5/2}$. Однако в протонных ядрах хорошо известны так называемые "intruder states"- состояния с низкой энергией возбуждения, принадлежащие оболочкам $s_{1/2}$, $d_{3/2}$ и $h_{11/2}$. Таким образом, нами интерпретированы ротационные полосы состояний $1/2^+[411]$ и $1/2^-[505]$ из соответствующих оболочек $d_{3/2}$ и $h_{11/2}$.

В процессе диагонализации варьировались внутренние квазичастические энергии и факторы ослабления взаимодействия Кориолиса.

Интерпретация уровней проводилась с учетом экспериментальных величин $^w(E2)$, рассчитанных по нашим данным о мультипольностях γ -переходов и литературным данным по времени жизни некоторых уровней. Полученные результаты показаны на рис. 4. В работе сравниваются рассчитанные и экспериментальные значения вероятностей $^w(E2)$, $^w(M1)$, $^w(E1)$ и коэффициентов δ .

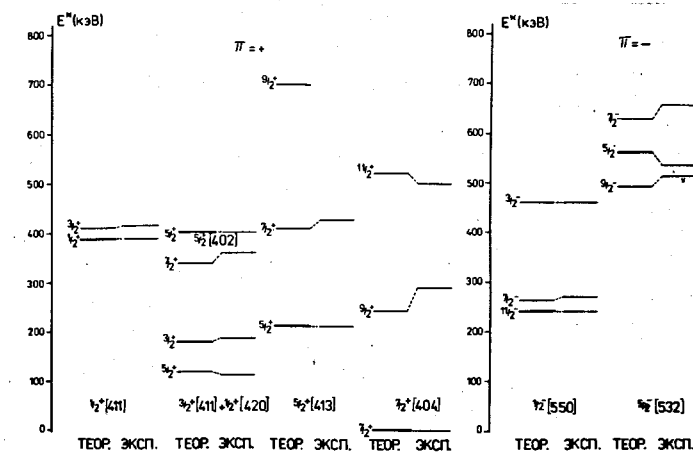


Рис. 4. Сравнение экспериментальных уровней ^{149}Pm с результатами расчетов в рамках неадиабатической вращательной модели

В наших расчетах структуры ^{149}Pm по ВМ мы рассматривали пять протонных состояний $s_{1/2}$, $d_{3/2}$, $d_{5/2}$, $g_{7/2}$ и $h_{11/2}$ и одно- или двухфоновые квадрупольные и октупольные возбуждения четно-четного остова в ^{148}Nd . При оптимизации варьировались квазичастические и фононные энергии и параметр смешивания.

Следует отметить некоторые особенности: экспериментальные величины $W(E2)$ для переходов с уровней $3/2_1^+$ и $5/2_1^+$ на основное состояние сравнимы. При этом вероятность $W(E2; 3/2_1^+ \rightarrow 5/2_1^+)$ перехода 74 кэВ на порядок больше этих величин, по-видимому, из-за подобной структуры обоих уровней. Этот факт, который нельзя объяснить в рамках ВМ, хорошо описывается при интерпретации по НВМ, согласно которой уровни $3/2_1^+$ и $5/2_1^+$ являются членами одной и той же ротационной полосы $3/2^+$ [411]. Следующее большое значение $W(E2; 5/2_2^+ \rightarrow 7/2_1^+)$ для перехода 211 кэВ можно объяснить кориолисовым смешиванием состояний $7/2^+$ [404] и $5/2^+$ [413]. И вероятности других γ -переходов между уровнями положительной четности лучше описываются в рамках НВМ.

Заметим, что ВМ интерпретирует состояние $3/2_1^-$ как $(h_{11/2} \otimes 2^+ \otimes 2^+)$ и предсказывает его размещение в области возбуждения ≈ 800 кэВ, что на ≈ 350 кэВ выше экспериментального значения 462 кэВ.

Таким образом, мы приходим к заключению, что ротационная структура более вероятна для низколежащих уровней ^{149}Pm по сравнению с вибрационной. При этом НВМ дает качественное согласие экспериментальных и теоретических приведенных вероятностей γ -переходов и лучше воспроизводит экспериментальные значения коэффициентов смешивания мультипольностей δ .

С целью расширить экспериментальную информацию о ядерных свойствах низколежащих состояний ^{149}Sm , а именно для уточнения мультипольного состава γ -переходов и спинов уровней в области энергий возбуждения < 1 МэВ, впервые изучалась реакция $^{146}\text{Nd}(\alpha, \gamma\gamma) ^{149}\text{Sm}$ при энергии α -частиц $E_\alpha = 16,0 - 20,4$ МэВ. Были измерены спектры γ -лучей, ЭВК и спектры $\gamma-\gamma$ совпадений, анизотропии углового распределения γ -лучей и функции возбуждения ядерных уровней. Измерения проводились на пучке α -частиц циклотрона МС-20 Университета в Ювяскюля в Финляндии.

В качестве мишени использовались фольги металлического Nd, обогащенного до 97% изотопом ^{146}Nd . Для измерения γ -спектров и спектров ЭВК применялись соответственно фольги толщиной 4,5 и 0,9 мг/см². Ток заряженных α -частиц составлял ≈ 3 мА.

Гамма-спектры измерялись при помощи антикомптоновского спектрометра, являющегося частью новой многодетекторной системы NORDBALL. Энергетическое разрешение применяемого GeHP-детектора объемом 100 см³ составляло $\approx 2,1$ кэВ. На рис. 5 показан спектр γ -лучей, возбуждаемых в реакции $^{146}\text{Nd}(\alpha, \gamma\gamma)$. Спектры ЭВК исследовались с помощью β -спектрометра с двойной фокусировкой и переменным магнитным полем с Si(Li)-детектором. В таблицах, представленных в диссертации,

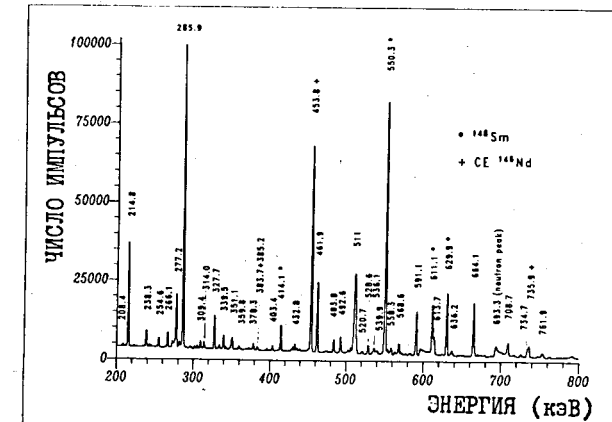


Рис. 5. Фрагмент спектра γ -лучей, возбуждаемых в реакции $^{146}\text{Nd}(\alpha, \gamma\gamma)$.

приводятся все данные, полученные об энергиях, интенсивностях и коэффициентах углового распределения γ -лучей, а также коэффициенты внутренней конверсии и результаты $\gamma-\gamma$ совпадений.

На основе результатов, описанных выше, была построена уточненная и дополненная схема уровней ядра ^{149}Sm , возбуждаемых при энергии $E_\alpha = 18,5$ МэВ в реакции $^{146}\text{Nd}(\alpha, \gamma\gamma)$. Она показана на рис. 6. По сравнению с другими работами можно заметить, что уровни с низким или средним значением спина в диапазоне энергий возбуждения $< 1,5$ МэВ в изучаемой нами реакции заселяются сильнее. Это и позволило нам внести некоторые изменения и дополнения в имеющуюся схему низколежащих уровней ^{149}Sm :

1) Во многих реакциях однонуклонных передач слабо возбуждаются уровни с энергией примерно 710, 925 и 1040 кэВ. Мы подтверждаем существование уровней 709,9, 925,6 и 1039,1 кэВ и включаем в предлагаемую схему новые γ -переходы 359,8, 432,8, 648,4 и 761,9 кэВ. Спин уровня 709,9 кэВ впервые определяем как $3/2$.

2) При β -распаде ^{149}Pm наблюдались слабые γ -лучи 953 и 930 кэВ. Основываясь на этом, авторы более ранних исследований ввели уровень 953 кэВ, разряжающийся такими переходами соответственно на основное и первое возбужденное состояния. Мы наблюдаем, однако, интенсивные совпадения γ -лучей 952,0 и 285,9 кэВ. Кроме того, γ -лучи 930 кэВ в изучаемой нами реакции не возбуждаются. Таким образом, мы не подтверждаем существование уровня 953 кэВ, но вводим новый уровень 1237,9 кэВ, разряжающийся переходом 952,0 кэВ на состояние $9/2^+$ 288,9 кэВ. По форме функции возбуждения этого перехода уровень 1237,9 кэВ

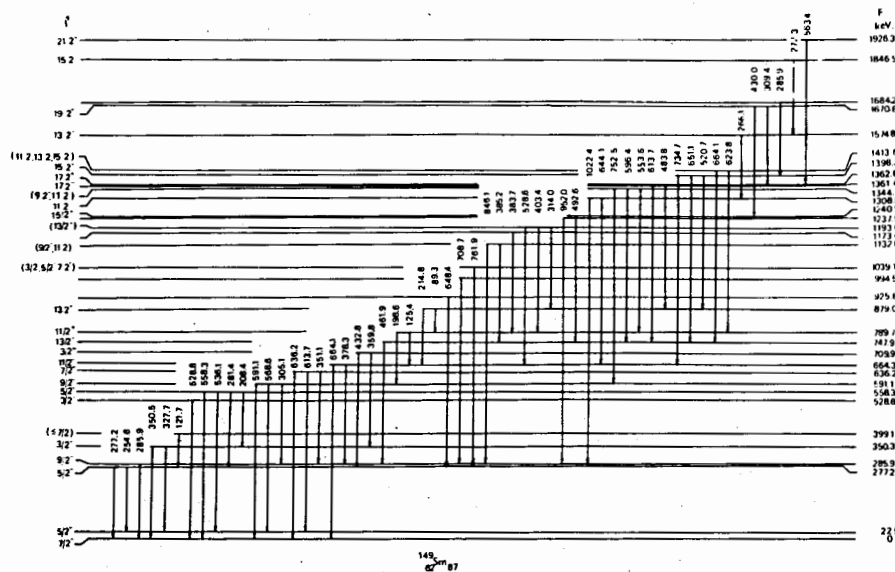


Рис.6. Схема уровней ядра ^{149}Sm , возбуждаемых при энергии $E_{\alpha} = 18,5$ МэВ в реакции $^{146}\text{Nd}(\alpha, \gamma\gamma)$.

можно приписать низкое значение спина и наиболее вероятно $7/2$.

3) Форма функции возбуждения перехода 752,5 кэВ, разряжающего уровень 1344,3 кэВ, ограничивает спин этого уровня на $I \leq 11/2$, причем наиболее вероятно значение $9/2$. Это предположение подтверждает и функция возбуждения перехода 554 кэВ, разряжающего этот уровень. Она была измерена при энергии $E_{\alpha} \leq 17,4$ кэВ; при высших энергиях E_{α} заметно проявляется компонент от канала реакции $(\alpha, 2\gamma\gamma)$.

4) В спектрах γ -лучей нами наблюдалась γ -линия переходов, не обнаруженные в других работах. Некоторые из них, 285,9 (сложной пик), 383,7, 385,2, 432,8 и 623,8, 648,4 и 761,9 кэВ, были размещены в предлагаемой схеме. Существование этих переходов потребовало введения в схему ^{149}Sm новых уровней с энергиями 1173,4 и 1684,2 кэВ. Форма функции возбуждения нового перехода 383,7 кэВ указывает на низкое значение спина разряжаемого им уровня 1173,4 кэВ.

В работе также обсуждаются спины некоторых других уровней, сложный характер некоторых γ -переходов и принадлежность некоторых других наблюдаемых переходов к изучаемому каналу реакции.

Из экспериментальных значений коэффициентов углового распределения $A_2^{\max} = A_2 / (A_0 \alpha_2)$ и $A_4^{\max} = A_4 / (A_0 \alpha_4)$ были определены

параметры смешивания мультипольностей δ для многих γ -переходов ^{149}Sm . Большинство из значений δ получено нами впервые.

Для интерпретации структуры низколежащих состояний ^{149}Sm проведены расчеты в рамках неадиабатической вращательной модели, предполагая движение квазичастиц в аксиально-симметричном потенциале Нильсона с малой деформацией $\delta \approx 0,10$. При оптимизации варьировались внутренние квазичастичные энергии и момент инерции в базисе всех шестнадцати квазичастичных состояний из оболочек $f_{7/2}$, $h_{9/2}$ и $i_{13/2}$. Для всех шестнадцати квазичастичных состояний принимался один параметр ослабления смешивания Кориолиса $\eta = 0,9$. Чтобы воспроизвести структуру ротационных полос, рассматривалась зависимость момента инерции от спина трех нильсоновских конфигураций $1/2^-$ [530], $5/2^-$ [523] и $7/2^-$ [514].

Так как основное состояние ^{149}Sm принадлежит оболочке $f_{7/2}$, мы интерпретируем состояния с большими значениями вероятностей $E2$ -переходов на основное состояние как возбуждения, принадлежащие оболочке $f_{7/2}$. Результаты расчетов энергетических уровней в такой интерпретации приводятся на рис. 7. Следует отметить, что состояние $3/2^-$ 710 кэВ, введенное в предлагаемой работе, хорошо описывается в наших расчетах, и в целом наши расчеты описывают все до сих пор известные экспериментальные уровни с отрицательной четностью в области энергий возбуждения ниже 1 МэВ. Как показано выше, эти расчеты проводились при одном значении коэффициента ослабления $\eta = 0,9$,

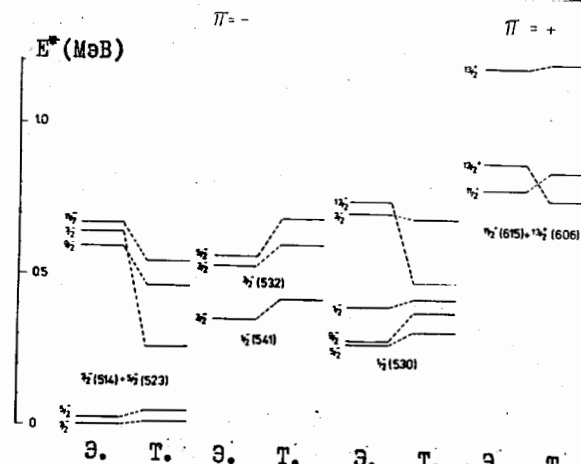


Рис.7. Сравнение экспериментальных уровней ^{149}Sm с теоретическими, рассчитанными в рамках неадиабатической вращательной модели.

величина которого указывает на возможные однофононные примеси в квазичастичных состояниях. Тогда из-за расхождения структуры рассчитанной ротационной полосы $7/2^+$ ^[514] + $5/2^-$ ^[523] с экспериментом можно ожидать значительные однофононные примеси к квазичастичным возбуждениям оболочки $f_{7/2}$. Однофононные возбуждения четно-четного остова ^{148}Sm как раз и находятся в области энергии возбуждения ~700 кэВ.

Уровни положительной четности интерпретируются нами как возбуждения оболочки $i_{13/2}$. Эта интерпретация предполагает сильное кориолисово смешивание состояний $11/2^+$ и $13/2^+$, которое проявляется в значениях $\chi(E2)$ переходов.

Следует отметить, что несмотря на сложный характер структуры переходного ядра ^{149}Sm описание вероятностей $E2$ - и $M1$ -переходов в рамках простой ротационной модели привело к качественному согласию с экспериментальными результатами. Однако результаты расчетов коэффициентов смешивания δ согласуются с экспериментом хуже.

В заключении приводятся основные выводы. Их можно сформулировать следующим образом:

1. Создан экспериментальный комплекс, позволяющий проводить измерения возмущенных γ - γ угловых корреляций в диапазоне температуры образцов от 1,5 К до комнатной температуры. Разработана методика измерения, обработки и анализа данных.

2. Изучены сверхтонкие магнитные поля на ядрах Sm в железной и никелевой матрицах при температуре образцов в диапазоне от 4,2 К до комнатной температуры. Для исследуемых образцов определены параметры электрических кристаллических и магнитных обменных полей. Проведены систематика и анализ составляющих сверхтонких магнитных полей на ядрах примесей редкоземельных элементов в ферромагнитных матрицах Fe, Co и Ni.

3. Впервые применена методика ядерной ориентации при сверхнизких температурах для изучения свойств низколежащих уровней ядра ^{149}Pm . Результаты измерений позволили определить нормированные интенсивности 27 γ -переходов в ядре ^{149}Pm . Однозначно определены спины уровней 288 и 425 кэВ как $9/2$ и $7/2$ и независимым способом подтверждены спины некоторых других уровней ^{149}Pm . Получена новая экспериментальная информация о мультипольности γ -лучей, возбуждаемых при распаде материнского ядра ^{149}Nd ($T_{1/2} = 1,7$ ч), а также о приведенных вероятностях $E2$ -, $M1$ - и $E1$ -переходов. Экспериментальные результаты настоящей работы сравниваются с расчетами, проведенными в рамках ротационной и вибрационной моделей.

4. Для изучения структуры низколежащих уровней ^{149}Sm впервые

использована реакция $^{146}\text{Nd}(\alpha, \nu\gamma)$ в диапазоне энергий $E_\alpha = 16,0 - 20,4$ МэВ. Изучены спектры γ -лучей и электронов внутренней конверсии и спектры γ - γ совпадений, а также угловые распределения интенсивности γ -лучей и функции возбуждения. Обсуждаются квантовые характеристики многих, в том числе ранее ненаблюдавшихся, уровней и мультипольности γ -переходов ^{149}Sm . В результате предлагается уточненная схема уровней ^{149}Sm и новая экспериментальная информация о мультипольности и приведенных вероятностях переходов. Приводится сравнение с расчетами в рамках ротационной модели ядра.

Работы, опубликованные по теме диссертации:

1. Будзынски М., Вепржек Я., Коничек Я., Лешнер Т., Ота И., Петржик М., Прохазка И., Соучек О., Фингер М., Фоминых В.М., Шупко-Ситников В.М., Шимечек П., Янкех А., Яноут З. Установка для измерений возмущенных угловых гамма-гамма корреляций в диапазоне температур 1,5-300 К. Препринт ОИЯИ, 13-83-342, 1983, 7 с.; Приборы и техника эксперимента, 1985, №3, с.49-51.
2. Budzynski M., Šimeček P., Lešner T., Čížek P., Procházka I., Šimečková E., Tsupko-Sitnikov V.M., Ehn L. and Janout Z. Hyperfine magnetic field at rare-earth elements in ferromagnetic transition metals. Hyp.Int., 1987, 34, p.315-318.; Proceedings of The 8th conference of Czechoslovak physics, Bratislava, 26.-30.8.1985, p.02-02.; Proceedings of The 7th conference on HI, Bangalore, 8.-12.9.1986.
3. Šimeček P., Procházka I., Finger M., Lešner T., Malinsky P., Sashin I.L., Šimečková E., Janout Z. and Koníček J. Decay of oriented ^{149}Nd and levels in the $N=88$ ^{149}Pm nucleus. Hyp.Int., 1987, 34, p.123-126.; Proceedings of The 7th conference on HI, Bangalore, 8.-12.9.1986.
4. Шимечек П., Прохазка И., Фингер М., Лешнер Т., Малински П., Сашин И.Л., Шимечкова Е., Шупко-Ситников В.М., Яноут З., Коничек Я. Изучение распада ориентированных ядер ^{149}Nd и структуры ядра ^{149}Pm ($N=88$), сообщение ОИЯИ, Р6-87-161, Дубна, 1987, 10 с.

5. Šimeček P., Julin R., Juutinen S., Kortelahti M., Kumpulainen J., Nosek D., Pakkanen A. and Procházka I. In-beam study of low-lying levels in the ^{149}Sm nucleus.
JINR, E15-88-864, Dubna, 1988, 19 p.;
Dep. of Physics, Univ. of Jyväskylä, JYFL Annual Report, 1988.;
to be published in Z.Phys.A, 1989.
6. Šimeček P., Finger M., Tsupko-Sitnikov V.M., Procházka I., Koníček J., Janout Z. Decay of oriented ^{149}Nd and low-lying levels in the N=88 ^{149}Pm nucleus.
JINR, E6-89-60, Dubna, 1989, 14 p.;
submitted to J.Phys.G.

Рукопись поступила в издательский отдел
30 мая 1989 года.